

Electrical and Photovoltaic Properties of Copper Gallium Sulfide (CuGaS₂) Thin Films

F. S. BAHABRI

Faculty of Girls College, Jeddah, Saudi Arabia.

ABSTRACT. Electrical resistivity ρ in the dark, had measured as a function of temperature, and the result showed a semiconductor behavior with activation energy at $\Delta E_1 = 0.674$ eV, which suggests an intrinsic transition of the semiconductor, while the other activation energy $\Delta E_2 = 1.78$ eV, suggests an extrinsic transition semiconductor, Cross the band gap $E_g^{elect} = 2\Delta E$ equal to 2.454 eV.

This value was in good agreement with many other researches where the optical energy gap is $E_g^{opt} = 2.42$ eV, which we measured in this work.

Through out the investigation of the current-voltage (I-V) characteristic of the (Au/CuGaS₂/Si/Al) hetero junction. The series resistance, shunt resistance and the most parameters at this study (p-n junction parameters) were listed in tables (1-1) & (1-2) & (1-3) respectively. Also the study covered the capacity-voltage (C-V) characteristics for the p-n junction. This solar cell shows some important results from current-voltage curves under illumination, which shows some importance in conversion of efficiency and sought for similar junctions, these parameters were :

$\eta = 1.4 \%$	$\eta = 1.15 \%$
FF = 0.47	FF = 0.48
$I_{sc} = 95 \mu A$	$I_{sc} = 77 \mu A$
$V_{oc} = 0.4$ volt	$V_{oc} = 0.35$ volt

The analysis of C-V characteristics of p- CuGaS₂ / n- Si :-

Hetero junction makes it possible to determine :

- 1) The capacity of the junction with the voltage.
- 2) The width of the depletion region.
- 3) The built in voltage.

- [8] Miyazaki, T., Shirakata, S. and Isomura, S. *Jpn. J. Appl. Phys.*, **30**, L1850 (1991).
- [9] Ouerigl, A., Kassi, H., Hotchandani, S. and Leblanc, R.M. *J. Appl. Phys.*, **1**, 5523 (1992).
- [10] Shay, J.L., Bridenbaugh, P.M., Tell, B. and Kasper, H.M. *J. Luminescence*, **6**, 140 (1973).
- [11] Shay, J.L. and Wernick, J.H. *Ternary Chalcopyrite Semiconductors; Growth, Electronic Properties and Applications* (Pergamon Press, Oxford) P. 118 (1975).
- [12] Shirakata, S., Saiki, K. and Isomura, H. *J. Appl. Phys.*, **68**, 291 (1990).
- [13] Song, H.J., Park, K.D., Park, T.Y. and Park J. *Korean. Phys. Soc.*, **79**, 82 p. 4 (2000).
- [14] Tanaka, K., Uchikia, H., Iida, S., Terasakob, T. and Shirakatob, S. *Solid State Communications*, **114**, 197-201 (2000).
- [15] Tell, B., Shay, J.L. and Kasber, H.M. *Phys. Rev.*, **B4**, 2463 (1971).
- [16] Teranishi, T., Saton, K. and Kondo, K. *J. Phys. Soc. Japan.*, **36**, 1618 (1974).
- [17] Yamamoto, N. and Miyauchi, T. *Japan. Appl. Phys.*, **11**, 1383 (1972).
- [18] Yamamoto, N., Tohge, N. and Miyauchi, T. *J. Appl. Phys.*, Vol.14, No.2, 192 (1975).

(ب) دراسة الوصلة الثنائية المكونة من السيليكون من النوع n عليه مادة من المركب من النوع p ودراسة خصائصها كخلية شمسية : CuGaS_2

تمت دراسة منحنيات (التيار-جهد) و (السعة-جهد) للوصلات الثنائية غير المتجانسة من شرائح من المركب p-CuGaS₂ على سيليكون من النوع n ، وذلك لاستنتاج باراتيرات الوصلة والتي تحدد أدائها وكانت على النحو التالي:

$R_s=1250 \Omega$	مقاومة التسلسل
$R_{sh}=3.7 \times 10^5 \Omega$	مقاومة التجزئة
$RR=1 \times 10^2 \Omega$	عامل التقويم
$\Phi_b=0.1 \text{ volt}$	ارتفاع حاجز الجهد

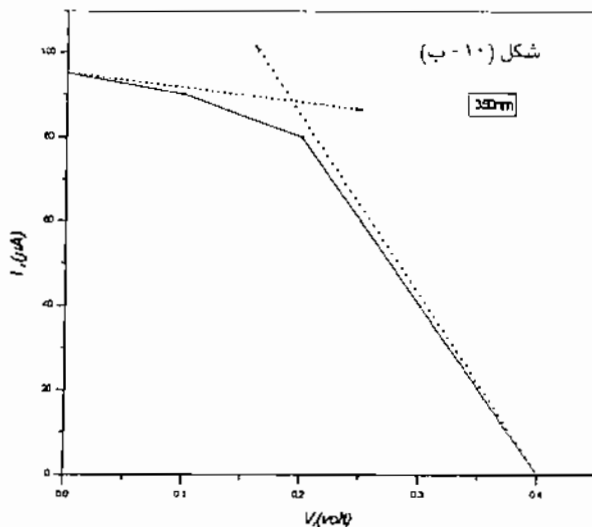
تم دراسة الخلية الشمسية لهذه الوصلات غير المتجانسة وكانت بالقيم الآتية:

$V_{oc}=0.35 \text{ vol}$	جهد الدائرة المفتوحة
$I_{sc}=77 \mu\text{A}$	تيار دائرة القصر
$I_m=65 \mu\text{A}$	أقصى قيمة للتيار "القيمة العظمى"
$V_m=0.2 \text{ volt}$	أقصى قيمة للجهد "القيمة العظمى"
$FF=0.482$	عامل الامتلاء

وبالتالي تم استنتاج كفاءة الخلية وكانت تساوي $\eta = 1.15\%$ ، وهذه النتيجة تم التوصل إليها ولم نستطع تأكيد قيمتها إن كانت مناسبة أم لا لعدم وجود أبحاث في هذا الخصوص.

المراجع References

- [1] Antohe, S., Tomozeiu, N. and Gognea, S. *Phys. Stat. Sol. (a)* **125**, 397 (1991).
- [2] Botha, J.R., Branch, M.S., Chowles, A.G., Leitch, A.W. and Weber, J. *Physica, B* **308-310**, 1065-1068 (2001).
- [3] Emziane, M., Bernede, J.C., Ouerfelli, J., Essaidi, H. and Barreau, A. *J. Phys. Chem.liq.* Vol. **3** , 5 (1999).
- [4] Horinaka, H., a a o o, . and Miyauchi, T. *Jpn. J. Appl. Phys.*, **1** , 521 (1978).
- [5] Kutzer, V., Lummer, B., Heitz, R., Hoffmann, A., Broser, I., Kurtz, E., and Hommel, D. *J. Cryst. Growth*, **159**, 776 (1996).
- [6] Loutfy, R.O., Sharp, J.H., Hsiao, C.K. and Ho, R. *J. Appl. Phys.*, **52**, 898 (1981).
- [7] Masse, G. *J. Appl. Phys.*, **58**, 930 (1985).



شكل (١٠ - ب) : العلاقة بين التيار - جهد للوصلة الثانية في حالة الإضاءة للسمك ٣٥٠ نانومتر.

الاستنتاجات

(أ) الخصائص الكهربية الانتقالية :

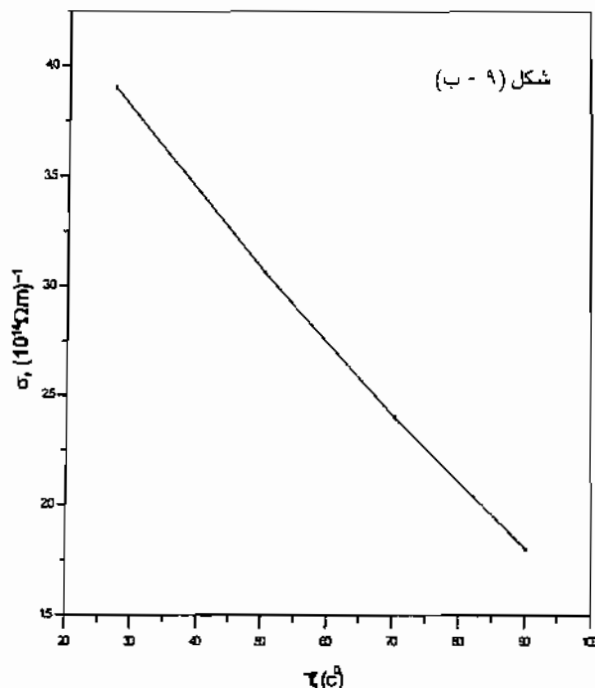
١- أوضحت قياسات المقاومة النوعية الكهربية ρ في حالة الإطalam اعتمادها على سمك الشرائح الرقيقة حيث تتناقص المقاومة النوعية الكهربية ρ مع زيادة السمك ، لسمك 122 و 350 نانومتر ، وهذا يعود إلى تزايد الحجم الحبيبي للتبلورات وهذا ما أكدته دراسة التركيب البلوري .

٢- دراسة المقاومة النوعية الكهربية ρ كدالة مع مقلوب درجة حرارة العينات ، أعطت خطين مستقيمين مختلفين في الميل ، و هذا هو السلوك الطبيعي لأشباه الموصلات ، و من ميل هذه الخطوط المستقيمة ، أمكن استنتاج طاقتى التنشيط الحراري ΔE_1 و ΔE_2 و عند درجات الحرارة العالية نسبياً وجد أن قيمة:

$$\Delta E_1 = 0.674 \text{ eV}$$

$$\Delta E_2 = 1.78 \text{ eV}$$

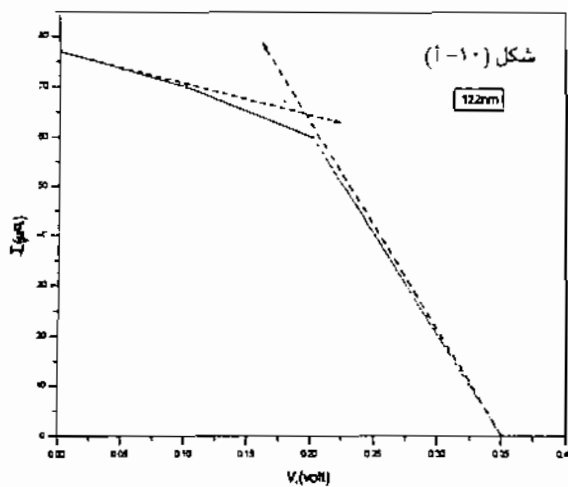
والتوصيل في هذا المدى لدرجات الحرارة يؤكد أن هناك توصيلاً ذاتياً و آخر غير ذاتي و بفجوة طاقة كهربية $\Delta E = E_2 - E_1$ ، و هذه القيمة المستندة لفجوة الطاقة الكهربية تساوي 2.454 إلكترون فولت تتفق مع القيم المستندة في الأبحاث السابقة [٢، ٣، ١٣، ١٤] .



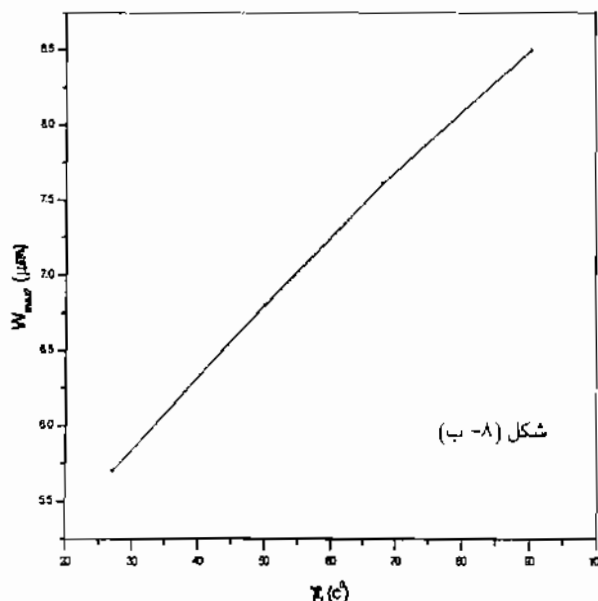
شكل (٩- ب) : العلاقة بين الموصىة ρ مع درجة الحرارة T للسمك ٣٥٠ نانومتر.

٧. الوصلة الثانية p-CuGaS₂/n-Si كخلية شمسية p-CuGaS₂/n-Si as a solar cell

تم قياس منحنيات (التيار - جهد) تحت تأثير الضوء لاستنتاج بارامترات الخلية الشمسية وكتموذج لما تم استخراجه من نتائج فإن الوصلة الثانية من النظام p-CuGaS₂/n-Si ولسمك يساوي (350، 122) نانومتر ، عينت لها بارامترات الوصلة الثانية كما هو مدون بالجدول (٣). والشكلان (١٠-أ ، ب) يوضحان منحنى (التيار - جهد) للوصلة سابقة الذكر . ومن المنحنى يمكن استنتاج بارامترات الخلية الشمسية .



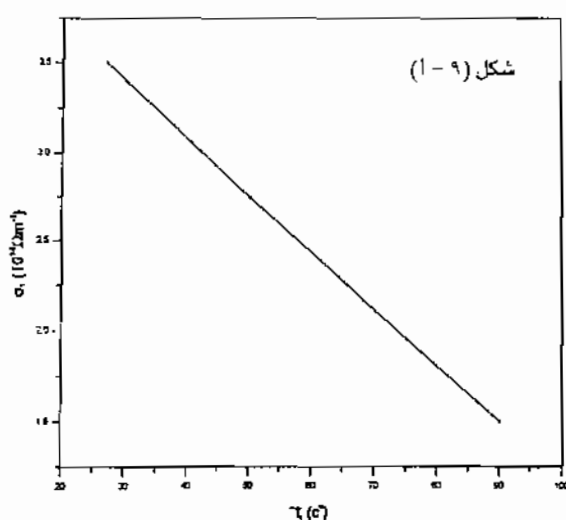
شكل (١٠- أ) : العلاقة بين التيار - جهد للوصلة الثانية في حالة الإضاءة للسمك ١٢٢ نانومتر.



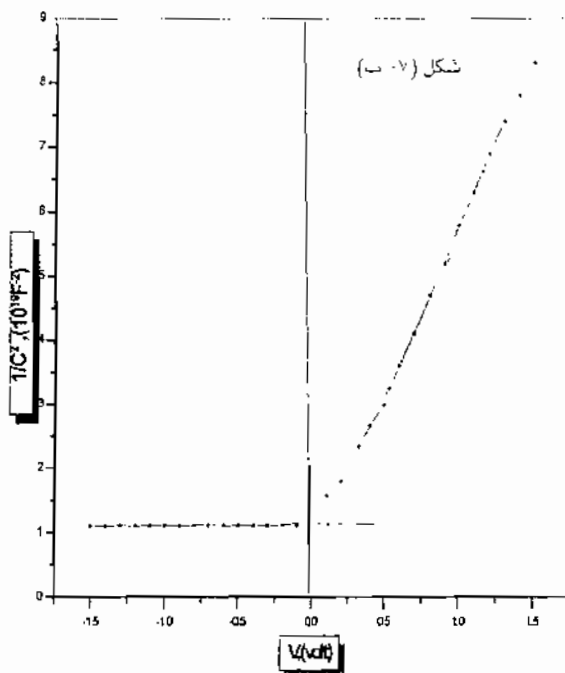
شكل (٨ - ب) : العلاقة بين اتساع منطقة الإستزاف W مع درجة الحرارة T للسمك ٣٥٠ نانومتر.

٦. الموصلية الكهربائية للوصلة الثنائية : Electrical Conductivity of the Junction

تم رسم العلاقة بين الموصلية الكهربائية σ بوحدات ($\Omega^{-1} \text{ m}^{-1}$)، مع درجات الحرارة المختلفة من درجة حرارة الغرفة وحتى ٩٠ درجة سيليزية لعينتين ذات سمك ١٢٢ نانومتر وأخرى ذات سمك ٣٥٠ نانومتر وانتضح من الشكلين (٩ - أ ، ب) أن هناك علاقة خطية تناقصية ما بين الموصلية ودرجات الحرارة حيث تقل الموصلية بارتفاع درجة الحرارة ونلاحظ أنها تعتمد على السمك فيتضح أن قيمة الموصلية تزداد بزيادة سمك الشرائح الرقيقة . ولكنها كما يتضح فإنها تسلك سلوكاً مشابهاً لأنشباء المعادن *Semi metals* حيث أن التناوب تناسبياً عكسياً ما بين الموصلية الكهربائية ودرجات الحرارة .



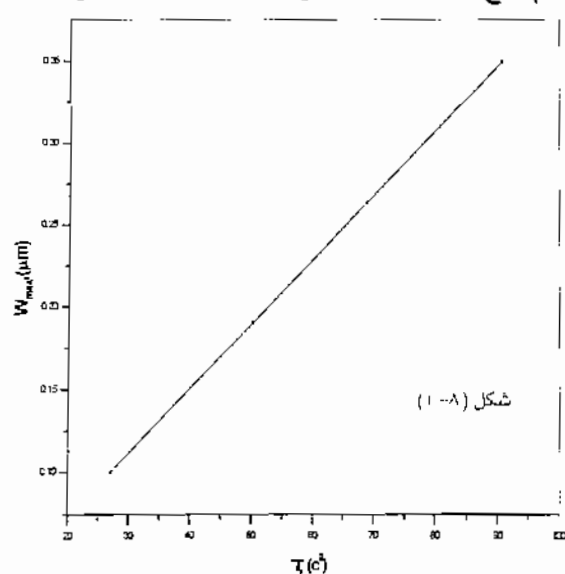
شكل (٩ - أ) : العلاقة بين الموصلية σ مع درجة الحرارة T للسمك ١٢٢ نانومتر.



شكل (٧-ب) : منحنيات السعة - جهد المميزة للوصلات الثنائية للسمك ٣٥٠ نانومتر.

٥. عرض منطقة الاستنزاف : Width of Depletion Region

لتعيين عرض منطقة الاستنزاف W_{max} وتغيرها مع درجة الحرارة ، فإنه يمكن تعبيتها من خلال الخواص المميزة (السعة - جهد) ، ($C-V$) ، للوصلة غير المتجلبة $n\text{-Si} / p\text{-CuGaS}_2$ حيث يمكن تحديد عرض منطقة الاستنزاف عند درجات حرارة مختلفة تتراوح من ٢٠ - ١٠٠ درجة سيليزية والأشكال (٨ - أ ، ب) توضح العلاقة الخطية بين عرض منطقة الاستنزاف W_{max} بوحدات (الميكرومتر) مع درجات الحرارة بالدرجات السيليزية .



شكل (٨-أ) : العلاقة بين اتساع منطقة الاستنزاف W مع درجة الحرارة T للسمك ١٢٢ نانومتر.

٤. منحنيات (السعة - جهد) المميزة "C - V" Characteristics Curves

علاقة (السعة - جهد) للوصلات الثنائية غير المتتجانسة H_2 يستخدم " تقريب منطقة الاستنزاف Depletion region على فرض أن سعة الوصلة يمكن اعتبارها كمتسلسلة لكل جانب من جوانب الوصلة الثنائية غير المتتجانسة، ويعبر عن السعة الكلية لكل وحدة مساحة بالعلاقة :

$$C^2 = \frac{qN_1N_2\epsilon_1\epsilon_2(V_b-V)^{-1}}{2(\epsilon_1N_1+\epsilon_2N_2)}$$

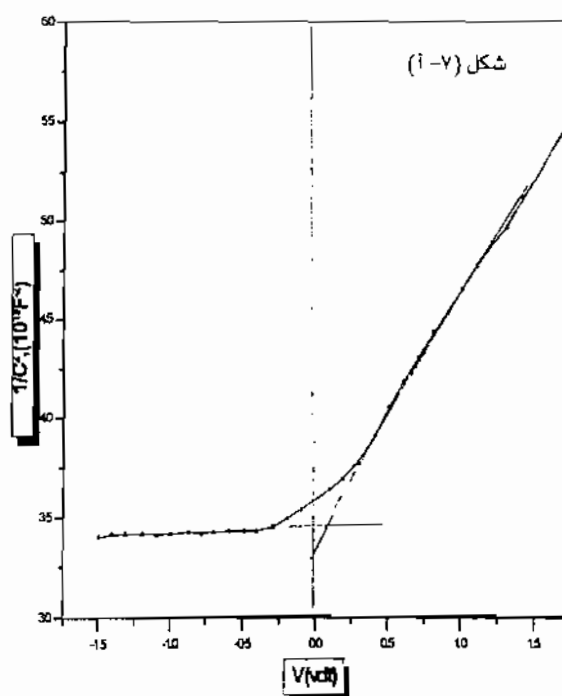
حيث : q شحنة الإلكترون ، و N_1 ، N_2 تركيز حاملات الشحنة الحرة في المادة (١) والمادة (٢) على الترتيب . ϵ_1 ، ϵ_2 النفاذية الكهربائية في المادة (١) والمادة (٢) على الترتيب . V_b الجهد المستخدم ، V_b جهد البناء الداخلي . Built in voltage

ويرسم العلاقة بين $1/C^2$ مع V يعطي الجزء المقطوع من المحور V قيمة جهد البناء الداخلي V_b والمدونة بالجدول (٢) .

$$\frac{1}{C^2} = \frac{2(V_b - V)}{Q\epsilon_2 N_2 A^2}$$

$$V_b = V_{b1} + V_{b2}$$

ومركبات جهد البناء الداخلي خلال شبه الموصل . يوضحها الشكلان (٧ - أ ، ب) .



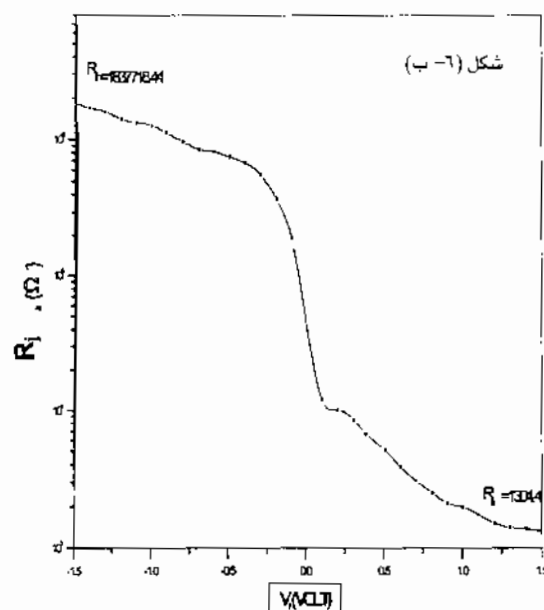
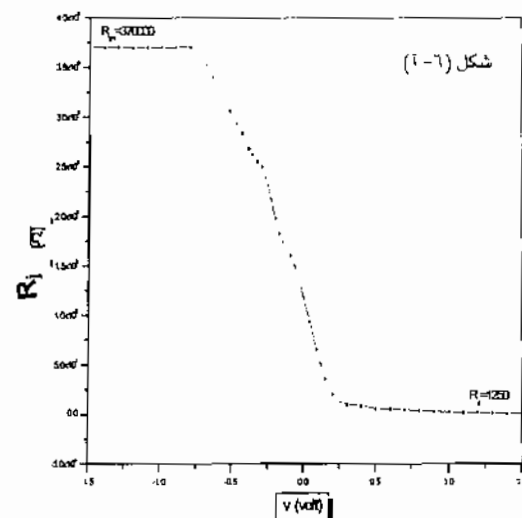
شكل (٧ - أ) : منحنيات السعة - جهد المميزة للوصلات الثنائية للسمك ١٢٢ نانومتر.

عن طريق رسم العلاقة بين مقاومة الوصلة R_J Junction resistance و الجهد المقابل R_s , R_{sh}

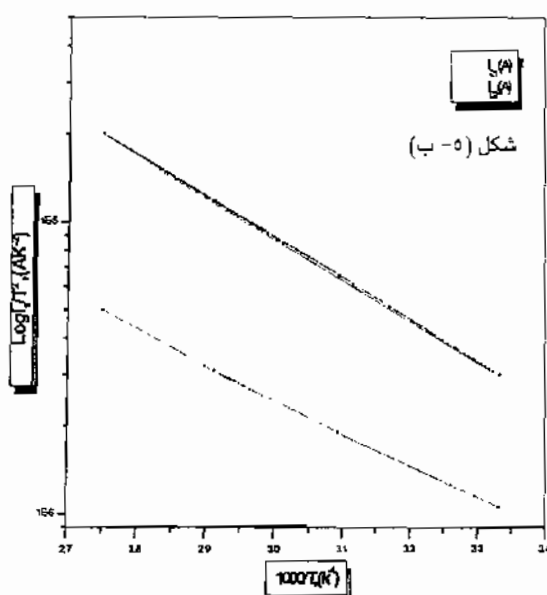
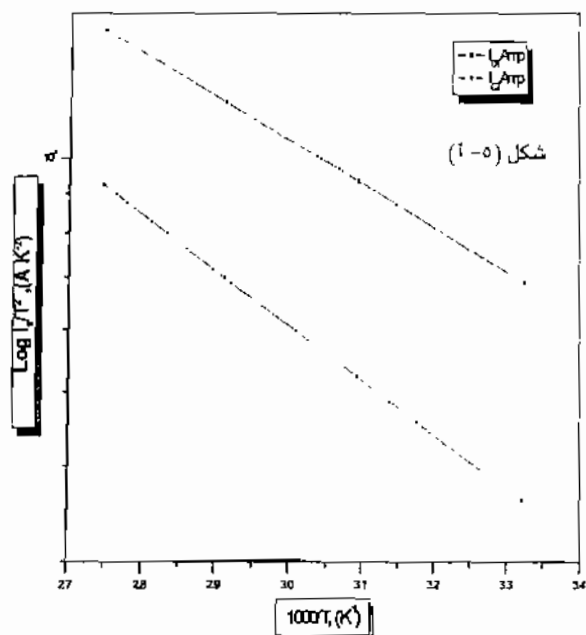
حيث :

$$R_J = \frac{dV}{dI}$$

والشكلان (٦ - أ ، ب) يوضحان العلاقة بين R_J , V حيث يلاحظ أنه عند قيمة عالية للجهد فإن مقاومة الوصلة R تصل إلى قيمة ثابتة تساوي مقاومة التسلسل R_s بينما عند التحيز الخلفي الكبير تصل مقاومة الوصلة R_J إلى قيمة ثابتة أيضاً وتساوي مقاومة التجزئة R_{sh} ومتوسط قيم R_s , R_{sh} , R_J والمحسوبة بالطريقتين السابقتين وللعينات مختلفه السمك مدونة بالجدول (١) .



شكل (٦ - أ و ب) : العلاقة البيانية بين مقاومة الوصلة R_J و الجهد V في حالة التحيز الأمامي والخلفي للسمك ١٢٢ و ٣٥٠ نانومتر .

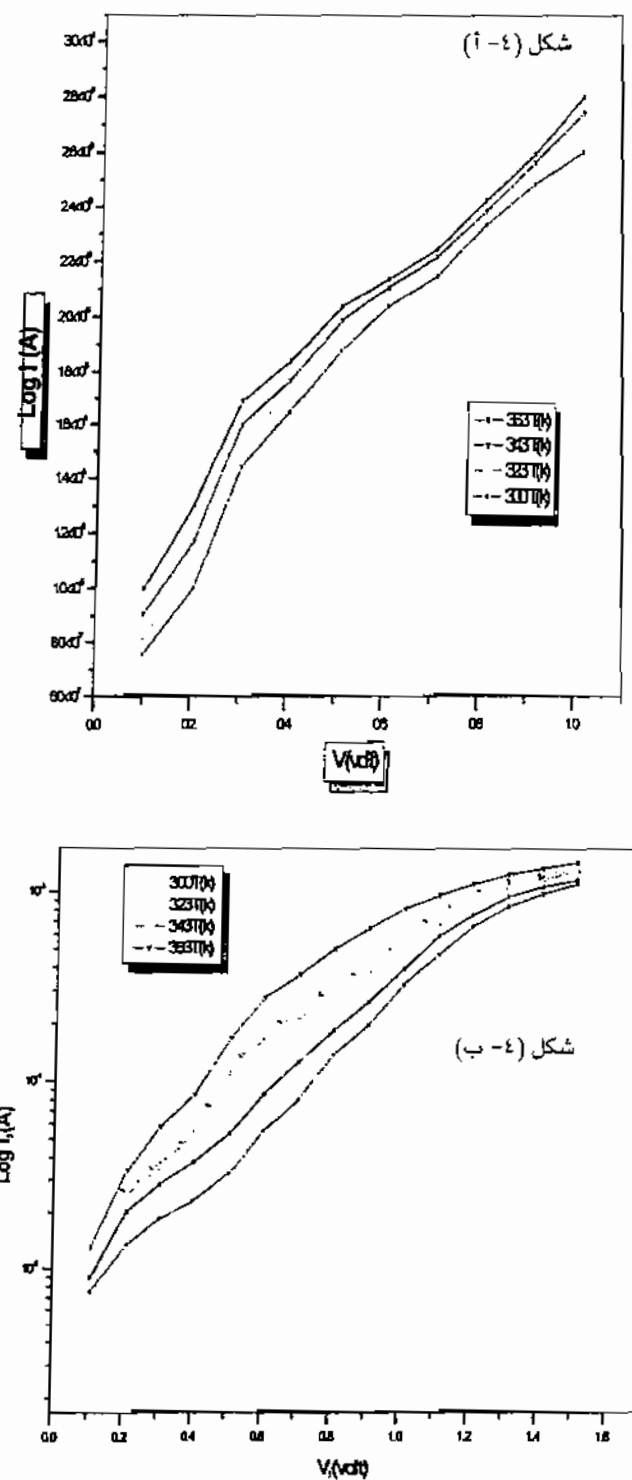


شكل (٥-أ و ب): العلاقة بين $\log I/V^2$ و $1000/T$ للوصلات الثنائية عند جهد مقداره ١ فولت للسمك ١٢٢ و ٣٥٠ نانومتر .

باستخدام معادلة شوتكي المعدلة لإدخال تأثير كل من مقاومة التسلسل Series resistance و مقاومة التجزئة Shunt resistance (R_{sh}) و تكتب على الصورة :

$$I = I_s \{ \exp [q (V - IR_s)/n KT] - 1 \} + \frac{V - IR_s}{R_{sh}}$$

حيث يمكن استنتاج قيم كل من مقاومة التسلسل و مقاومة التجزئة من تيار التحيز الأمامي والخلفي عند قيمة عالية للجهد على الترتيب ، ولقد اقترح لطفي^[٦] وآخرين طريقة جديدة لتعيين



شكل (٤ - أ و ب): العلاقة بين $\log I_A$ والجهد (V) في حالة التحيز الأمامي عند درجات الحرارة المختلفة للسمك ١٢٢ و ٣٥٠ نانومتر .

ومن الميل للخط المستقيم يمكن استنتاج طاقة التشغيل للوصلة E_Δ لكل قيمة من جهد التحيز الخلفي V_b المعطاة وقيم طاقات التشغيل للوصلات من كل سmek مدونة بالجدول (١).

٣. آليات التوصيل في الوصلات الثنائية من كبريتيد gallium التحاسى-p / سيليكون-n :

Conduction mechanisms in p/n- Si Heterojunctions :

من نظرية الانبعاث الأيوني الحراري في الوصلات الثنائية فإن التيار يعطى بالمعادلة [١، ٩] :

$$I = I_s [\exp (q V / n K T) - 1] \quad \dots \quad (2)$$

حيث : KT طاقة بولتزمان عند درجة الحرارة T ، q شحنة الإلكترون I_s تيار التشبع عند جهد تحيز أمامي ضعيف ($0 - 0.35$ فولت) فإن تيار التشبع I_s يعطى بالصورة [١، ٩] :

$$I_s = I_0 \exp (- q \Phi_b / KT) \quad \dots \quad (3)$$

حيث: I_0 المعامل السابق للدالة الأسية ويساوى $A^* T^2$ ، A مساحة سطح الوصلة ، ثابت ريتشاردسون Richardson Constant ، فإذا ما كان التيار السائد آلية انبعاث شوتكي لحملات الشحنة عبر حاجز الجهد للوصلة، فالمعادلة السابقة تكتب على الصورة [١، ٩] :

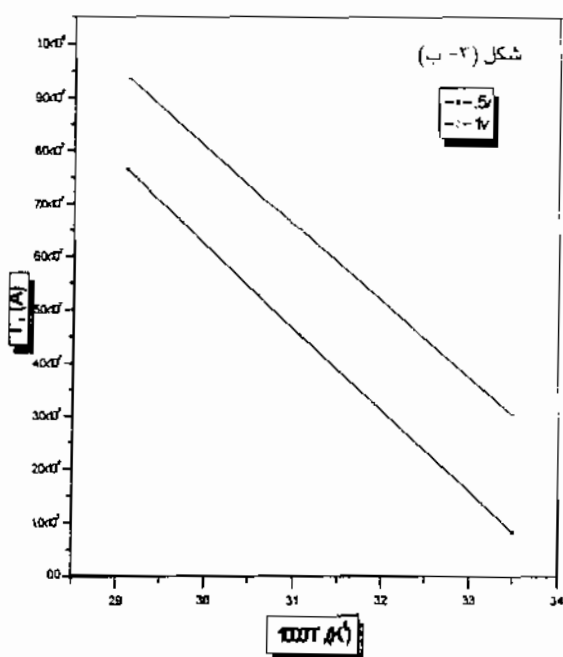
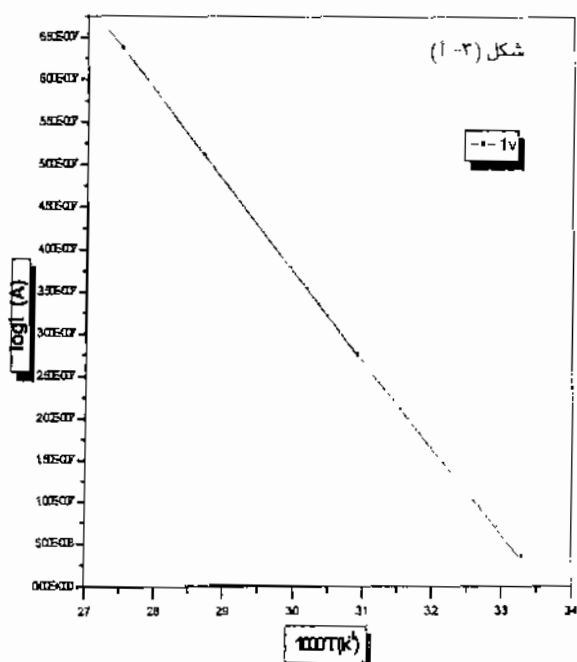
$$I_s = A A^* T^2 \exp (- q \Phi_b / KT) \quad \dots \quad (4)$$

من المعادلة (٤) وبأخذ لوغاريم الطرفين مع إهمال الواحد بالنسبة للدالة الأسية فإن العلاقة بين $\ln I_s$ ، V ، تعطي خطأً مستقيماً وميله يعين عامل الجودة للوصلة diode quality (n) والشكلين (٤-أ و ب) يوضحان علاقة $\log I_s$ مع الجهد V في حالة التحيز الأمامي ، وقيم n المستنيرة لكل عينة مدونة بالجدول (١) ، ومن الجدول يتضح أن قيم $A > n$ مما يدل على أن آلية التوصيل في هذا المدى من الجهد هي آلية الانبعاث الأيوني الحراري ويمكن تأكيد ذلك من المعادلة (٤) حيث رسمت العلاقة بين $\ln I_s / T^2$ و $1000/T$ حيث تحصل على خط مستقيم ميله $q \Phi_b / K$ ومنه يمكن تعين ارتفاع حاجز جهد شوتكي Φ_b للوصلات المقاسة والشكلين (٤-أ، ب) يوضحان العلاقة السابقة لنفس الوصلات ويتبين أنها جميعاً خطوطاً مستقيمة بما يحقق معادلة شوتكي (٤). وما سبق يتضح أن الوصلات الثنائية لها $1 < n$ وهذا يعني مساهمة إعادة الاتصال للإلكترونات السالبة والثقب الموجبة داخل منطقة الاستنزاف وأيضاً زيادة تأثير تيار الانشار مع زيادة جهد التحيز بالإضافة إلى أن ميكانيكية التيار السائد هي آلية الانبعاث الأيوني الحراري.

٤. طاقة التنشيط للتحيز الخلفي : Reverse current activation energy

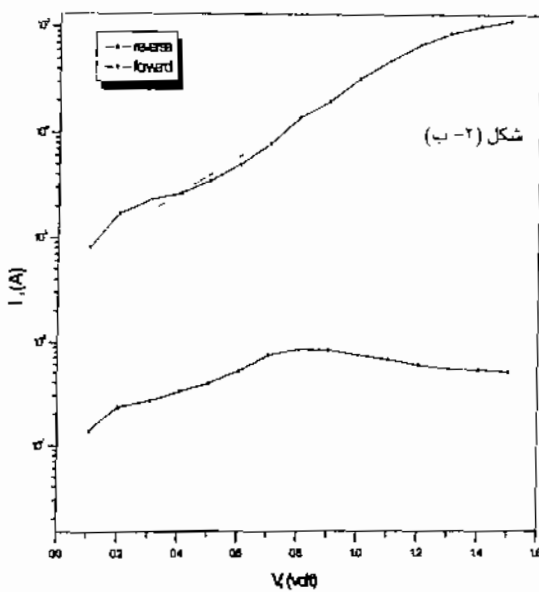
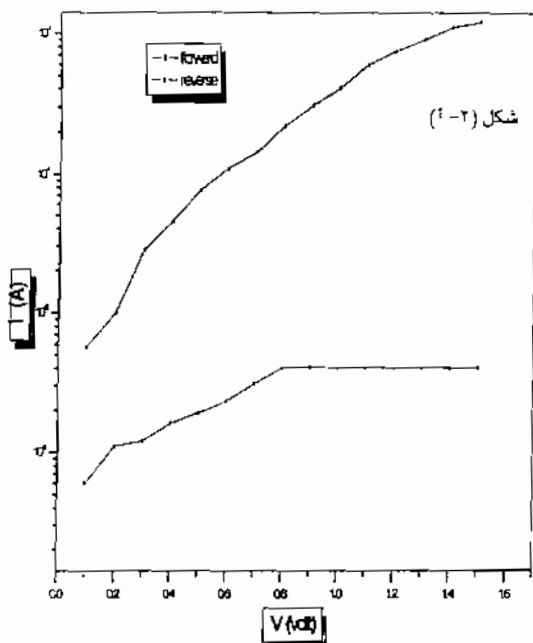
من قيم تيار التحيز الخلفي عند درجات الحرارة المختلفة وعند جهد مقداره ١ فولت يمكن تعين طاقة التنشيط للتيار الخلفي حيث الشكل (٢ - أ ، ب) يمثلان علاقة $T/1000$ مع $\log I_r$ و يتضح منها علاقة خط مستقيم تتبع العلاقة [١، ٩] :

$$I_r = \exp(-\Delta E / K T) \quad \dots \dots \dots \quad (1)$$



شكل (٢ - أ و ب) : العلاقة بين تيار التحيز الخلفي I_r و $T/1000$ للوصلات الثنائية عند جهد مقداره ١ فولت و ٥ فولت للسمك ١٢٢ و ٣٥٠ نانومتر .

بـــ التحيز الأمامي له نفس السلوك تقريباً ، عند درجات الحرارة المختلفة حيث أنه بزيادة الجهد، فإن التيار يتزايد أسيّاً في البداية ، أما عند الجهود المرتفعة فإنه يتزايد خطياً ، الشكلان (٢ـــ أ و ب) .



شكل (٢ـــ أ و ب): العلاقة بين التيار - جهد للتحيز الأمامي و الخلفي عند درجة حرارة الغرفة لسمك ١٢٢ و ٣٥٠ نانومتر .

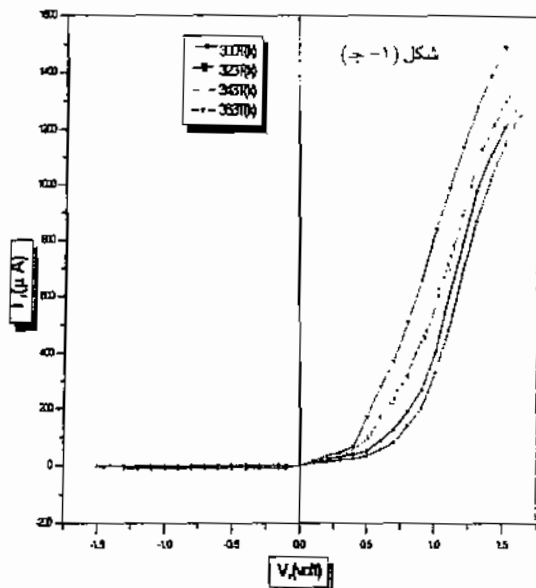
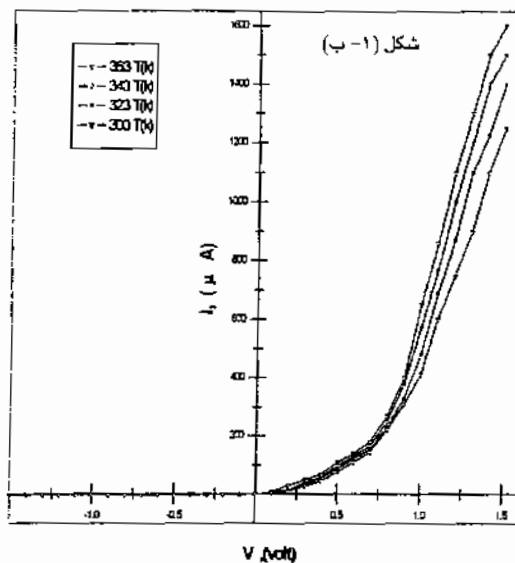
جـــ التمايز في المنحنيات مع تدرج درجة الحرارة يعني بأن آليات التوصيل في مدى الجهود المختلفة هي آليات متشابهة لكل العينات . هذا وقد أمكن تحليل تلك المنحنيات واستنتاج البارامترات الهامة للوصلة الثانية فيما يلي :-

الوصلات الثنائية $n\text{-Si} / p\text{-CuGaS}_2$ في حالة الإظلام :

١. منحنيات (التيار - جهد) المميزة (I-V Characteristics Curves :

لمنحنيات (التيار - جهد) والمميزة للوصلات بوصفها $n\text{-Si} / p\text{-CuGaS}_2$ والتي سمك طبقة لها $350 - 122$ نانومتر على الترتيب ويوضحها الشكلان (١- ب و ج) حيث يمثل كل شكل منها منحنيات (التيار - جهد) للعينة تحت الدراسة عند درجات حرارة مختلفة في المدى من درجة حرارة الغرفة و حتى 363 كلفن ، ومن هذه المنحنيات يمكن استنتاج ما يلي:-

أ- سلوك المنحنيات مشابهة رغم اختلاف سمك طبقة CuGaS_2 .



شكل (١- ب و ج): منحنيات التيار (I) جهد (V) المميزة عند درجات الحرارة المختلفة للسمك 122 و 350 نانومتر .

كما تم دراسة منحنيات (التيار - جهد) وللوصلات الثنائية غير المتجانسة للنظام (ذهب - كبريتيد الجاليلوم النحاسي p - سيليكون n - ألومنيوم) حيث تم استنتاج بارامترات الوصلة ، ودونت النتائج في الجدول (١) و(٢) و(٣) وأثبتت النتائج أن آلية التوصيل تتم بالأنبعاث الأيوني الحراري عند الجهد المنخفضة نسبياً، وقد تمت دراسة منحنيات (التيار - جهد) في حالة الإظلام والإضاءة لهذا المركب كخلية شمسية، حيث أوضحت العينات كفاءة η تساوي ١.٤٪ وهي تعتبر كفاءة عالية . وكان عامل الامتلاء FF يساوي ٠٠٤٧، وجهد الدائرة المفتوحة V_{oc} يساوي ٤٠ فولت ، وتيار دائرة القصر I_{sc} يساوي ٩٥ ميكروأمبير وذلك للعينة ذات السمك ٣٥٠ نانومتر، أما العينة ذات السمك ١٢٢ نانومتر، فإن الكفاءة η لها تساوي ١.١٥، وعامل الامتلاء FF يساوي ٠٠٤٨، وجهد الدائرة المفتوحة V_{oc} يساوي ٠٠٣٥ فولت ، وتيار دائرة القصر I_{sc} يساوي ٧٧ ميكروأمبير، ومنها يتضح أن زيادة السمك تتسبب زيادة الكفاءة وتحسن من أدائها ، ومن دراسة العلاقة بين اتساع منطقة الاستنزاف مع التغير في درجة الحرارة للسمك ٣٥٠ و ١٢٢ نانومتر، وجدت علاقة طردية بين اتساع منطقة الاستنزاف ودرجة الحرارة والسمك، وكذلك من دراسة العلاقة بين الموصلية ودرجة الحرارة لوحظ وجود علاقة عكسية بين الموصلية ودرجة الحرارة وعلاقة طردية مع السمك ، وقد تم التركيز على تحضير عدد من الوصلات الثنائية المتغيرة من النظام $n\text{-Si} / p\text{-CuGaS}_2$ وبقياس منحنياتها المميزة (I-V) و (C-V).

جدول (١) : بارامترات الوصلة في حالة الإظلام.

d (nm)	$R_{sh}(\Omega)$	$R_s(\Omega)$	n	$\Delta E(eV)$	$I_s(Amp)$	RR
122	3.7E5	1250	1.55	1.187	1E-6	1E2
350	1.8E6	1304	2.12	1.180	2E-7	0.5E3

جدول (٢) : العلاقة بين السمك و جهد التماس " جهد البناء الداخلي ".

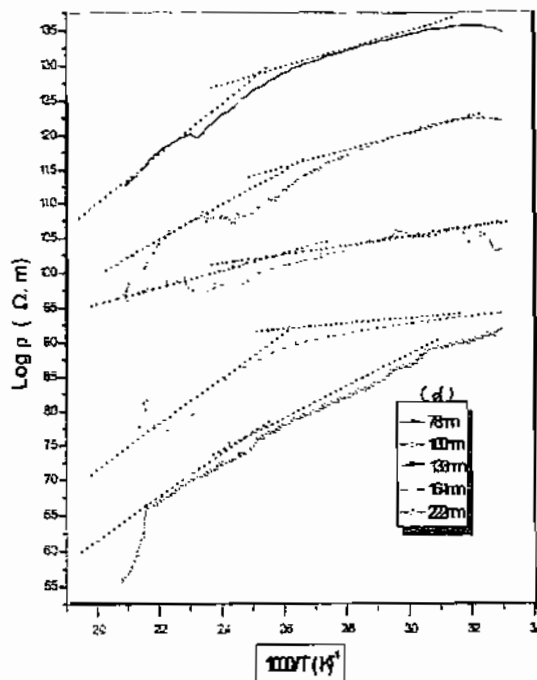
d (nm)	V_b (volt)
122	0.10
350	0.15

جدول (٣) : بارامترات الخلية الشمسية في حالة الإضاءة .

d(nm)	$I_{sc}(\mu A)$	$V_{oc}(volt)$	FF	η
122	77	0.35	0.482	1.15%
350	95	0.40	0.470	1.48%

التجارب المعملية

تم قياس المقاومة النوعية الكهربائية للشرائح المرققة من هذا المركب " والمرسية على حواجز زجاجية بتقنية تحضير الشرائح المرققة من كبريتيد الجاليمون النحاسي CuGaS_2 ، بالتبخير الحراري المعتمد في جو مفرغ (10^{-4} pascal) ، في حالة الإظام وأيضاً في درجة حرارة للعينات تتراوح من درجة حرارة الغرفة وحتى 493 كلفن ، وقد وجد اعتماد المقاومة النوعية الكهربائية لهذه الشرائح المرققة على سمك العينات وعلى درجة حرارة المعالجة الحرارية لهذه العينات ، حيث تتناقص المقاومة النوعية الكهربائية مع زيادة سمك الشرائح المرققة من هذا المركب الثلاثي ، وذلك بسبب تزايد الحجم الحبيبي للتبلورات مع زيادة السمك ، أما بالنسبة لعلاقة المقاومة النوعية الكهربائية بدرجات الحرارة فقد أوضحت العينات سلوكاً في الدورة الأولى يوضح تحول المادة من الحالة شبه الأ Morrison إلى الحالة البلورية ، وسلوكاً مغايراً في الدورة الثانية للتسخين يوضح سلوك الموصلات العادية . ومن العلاقة بين المقاومة النوعية ودرجات الحرارة (شكل ١-أ) أوضحت النتائج سلوكاً شبـه موصل بطاقي تنشيط الأولى $\Delta E_1 = 0.674 \text{ eV}$ وتمثل سلوكاً شبـه موصل غير ذاتي extrinsic ، أما طاقة التنشيط الثانية فإنها تمثل سلوكاً شبـه موصل ذاتي intrinsic وتساوي $\Delta E_2 = 1.78 \text{ eV}$ ومن هذه القيم تم استنتاج قيمة فجوة الطاقة $E_g = 2.454 \text{ eV}$ وهذه القيمة لمتوسط القيمتين تتفق مع القيم المعاينة في الأبحاث السابقة [٤,٥,٧,٨,١٢] وتتفق مع نتائج القياسات الضوئية .



شكل (١-أ) : العلاقة بين المقاومة النوعية ودرجات الحرارة .

المقدمة

تعد الشرائح الرقيقة من أشباه الموصلات هدفاً تسعى إليه تقنية الصناعات الإلكترونية من الثنائيات "الدايودات" و الترانزستورات بأنواعها المختلفة ، كذلك في الدوائر التكاملية. كما تبرز الأهمية الكبرى لها في صناعة الخلايا الشمسية على هيئة وصلات ثنائية سواء ، أو كانت وصلات متجانسة أم متغيرة [10, 15, 16, 17].

تعتبر المركبات من النظام الثلاثي ($A^{VI} B^{III} C^{VI}$) من أشباه الموصلات الوعادة في مجال صناعة الوصلات الثنائية (الدايودات) والخلايا الشمسية، كما تستخدم كمولادات للطاقة الكهروحرارية، كذلك كمحولات للطاقة، وكأقطاب للتوصيلات الكهربائية وفي التطبيقات الضوئية الحرارية والضوئية الكهربائية والتطبيقات الإلكترونية [11, 18].

احتلت أشباه الموصلات البلورية معظم الأبحاث والدراسات السابقة ، وأولت العناية الفائقة والاهتمام بها في صورتها الحجمية ، وكذلك في صورتها كشرايخ رقيقة بتقنية الترسيب الكيميائي ، أما الأبحاث والدراسات بتقنية التبخير الحراري فإنها نادرة في هذا المجال ، حيث تميز هذه الطريقة بإمكانية الحصول على أشباه موصلات لها خصائص معينة مناسبة ومرغوبة في التطبيقات العملية ذات الجودة والكفاءة العالية، وبأقل التكاليف ، حيث يتم فيها استخدام كميات ضئيلة جداً من المادة .

الهدف من الدراسة

تم اختيار شبه الموصل الثلاثي كبريتيد الجاليمون النحاسي $CuGaS_2$ للدراسة في صورته كشرايخ رقيقة، لندرة الدراسات السابقة في هذا المجال ، حيث تمت معظم الدراسات له في صورته الحجمية.

هدف البحث و تلخيصه فيما يلي:

- ١) تحضير الشرائح الرقيقة من المركب $CuGaS_2$ و دراسة أهم خصائصها الفيزيائية من حيث الخصائص الكهربائية الانتقالية.
- ٢) تحضير و دراسة الوصلات الثنائية المتغيرة (غير المتجانسة) من المركب $CuGaS_2$ على رقائق من السيليكون النقى لاستنتاج بارامترات الوصلة الثنائية و كذلك البارامترات الفولتية.

الخصائص الكهربائية و الفولت ضوئية لشراائح الرقيقة من شبه الموصل الثلاثي كبريتيد الجاليم النحاسي

د . فاطمة سالم باهبري

كلية التربية بجدة ، الأقسام العلمية ، قسم الفيزياء

المستخلص. تم قياس المقاومة النوعية الكهربائية لشراائح رقيقة من مركب CuGaS_2 المحضرة بطريقة التبخير الحراري المعتمد في جو مفرغ 10^{-4} بسكال في حالة الإلalam وعند درجة حرارة للعينات تتراوح من درجة حرارة الغرفة حتى 493 كلفن، وقد وجد اعتماد المقاومة النوعية الكهربائية لهذه الشراائح الرقيقة على سمك العينات وعلى درجة حرارة المعالجة الحرارية، حيث تتناقص المقاومة النوعية الكهربائية مع زيادة السمك للشراائح الرقيقة من هذا المركب ، وذلك بسبب تزايد الحجم الحبيبي للتبلورات مع زيادة السمك، أما بالنسبة لعلاقة المقاومة النوعية الكهربائية بدرجات الحرارة فقد أظهرت العينات سلوكاً في الدورة الأولى يوضح تحول المادة من الحالة الأمorfية إلى الحالة البلورية، وسلوكاً مغايراً في الدورة الثانية للتسخين يشبه سلوك أشباه الموصلات العادية . ومن العلاقة بين المقاومة النوعية الكهربائية ودرجات الحرارة. أوضحت النتائج سلوكاً لشبه موصل بطيقى تنشيط الأولى $\Delta E_1 = 0.674\text{eV}$ وتمثل سلوكاً شبه موصل غير ذاتي extrinsic، أما طاقة التنشيط الثانية فإنها تتمثل سلوكاً شبه موصل ذاتي intrinsic وتساوي $\Delta E_2 = 1.78\text{eV}$ ومن هذه القيم تم استنتاج قيمة فجوة الطاقة $E_g = 2.454\text{eV}$ ، وهذه القيمة تتفق مع القيم المقاسبة في الأبحاث السابقة.

كما تم دراسة منحنيات (التيار-جهد) و كذلك (السعة-جهد) للوصلات الثنائية غير المتجانسة للنظام (ذهب-كبريتيد الجاليم النحاسي p - سيليكون n- ألومنيوم) حيث تم استنتاج باراترات " ثوابت " الوصلة .

